Referências Bibliográficas

- 1. INTERNATIONAL COUNCIL ON LARGE ELECRTIC SYSTEMS. Working Group 38-01. **Static var compensators**. Paris: CIGRÉ, 1986.
- 2. MILLER, T.J.E. **Reactive power control in electric systems**. New York: John Willey & Sons, 1982.
- 3. KIMBARK, E. W. **Direct Current Transmission**. New York: Willey Interscience, 1971.
- 4. GHINELLO, G. et al. **An Investigation of the endurance of capacitors supplied by nonsinusoidal voltage**. Conference on electrical insulation and dieletric phenomena, p. 723,1998.
- 5. MONTANARI, G. C.; FABIANI, D. Searching for the factors which affect self-healing capacitor degradation under non-sinusoidal voltage. IEEE Transactions on Dielectrics and Electrical Insulation, v.6, n.3, 1999.
- 6. GIN, S. B.; SAVADA, J. H.; TREASURE, T. R. BC Hydro harmonic resonance experience. IEEE Summer Power Meeting. 2000, p.1088
- 7. REVISTA CIGRÉ ELECTRA. **Shunt capacitor bank switching**: stress and methods. Paris: CIGRÉ, n.182, Fevereiro 1999.
- ASSOCIAÇÃO BRASILEIRA DE NORMAS TÉCNICAS. NBR 5282. Rio de Janeiro, 1998
- INTERNATIONAL COUNCIL ON LARGE ELECRTIC SYSTEMS
 Working group 13.07: Controlled switching of HVAC lines, reactors, capacitors and transformers. Paris: CIGRÉ, 1998.

- 10. INSTITUTE OF ELECTRICAL AND ELECTRONIC ENGINEERS. **IEEE** standard C37.015: aplication guide for shunt reactor switching, 1993.
- 11. HU, Y. et al. Self-excitation operating constraint for generators connected to DC lines. IEEE, PAS, v.14, p.1003, Agosto 1999.
- 12. DE MELLO, F. P.; LEUZINGER, L. M.; MILLS, R. I Load rejection overvoltages as affected by excitation system control. IEEE PAS 94, v.2, p.280, Março / Abril 1975.
- 13. BILLINGTON, R. **Power system reliability evaluation** New York: Gordon and Breech Science Publishers, 1974.
- 14. JORION, P. **Value at Risk**: the new benchmark for controlling market risk. New York: McGraw-Hill, 1997.
- 15. GOOVAERTS, M. J.; DE VYLDER, F. **Insurance premiums**. Holanda: Elsevier Science, 1984.
- 16. LOF. P. A.; ANDERSSON, G.; HILL, D. J. Voltage dependent reactive power limit for voltage stability studies. IEEE PAS v10, p.220, Fevereiro / 1995.
- 17. GORENSTIN, B. G. et al. Commercialization risks in the Brazilian market. International Conference on Electric Power Engineering PowerTech, Budapeste, 1999.
- 18. ADMINISTRADORA DE SERVIÇOS DO MERCADO ATACADISTA DE ENERGIA ELÉTRICA. **Regras Algébricas da ASMAE**. Disponível em http://www.asmae.com.br v 2.2a, 2001.

- DAVID, P. A. M. S. Precificação de derivativos e gerenciamento de risco financeiro no mercado brasileiro de energia elétrica. Rio de Janeiro, 2000.
 Monografia (Doutorado em energia elétrica) – Pontifícia Universidade Católica.
- 20. HULL, J. **Options, futures and other derivatives securities**. New York: Prentice Hall, 1993.
- 21. AINSWORTH, J. D. Phase locked loop control system for thyristor controlled reactors. IEEE Proceedings, v 135, p.146, Março 1988.
- 22. INTERNATIONAL COUNCIL ON LARGE ELECRTIC SYSTEMS.TF 38.05.09. Methods and tools for contracts in a competitive framework. Paris: CIGRÉ, 2001.
- 23. KIMBARK, E. W. Power system stability. Dover Publication, 1956.
- 24. ANDERSON, P. M.; FOUAD, A. A. **Power system control and stability**. Iowa State University Press, 1997.
- 25. DE MELLO, F. P. Dinâmica das máquinas elétricas. São Paulo: LTC, 1981
- 26. CAMARGO, C. C. B. Confiabilidade aplicada a sistemas de potência. São Paulo: LTC, 1981.

Apêndice 1

Banco de capacitores em derivação e filtro harmônico

A.1.1

Introdução

O banco de capacitores em derivação tem por finalidade gerar potência reativa capacitiva (MVAr > 0) que é função do quadrado da tensão da barra.

Na frequência fundamental o filtro possui a mesma característica de potência reativa que o banco de capacitores, e para a frequência harmônica de sintonia possui baixa impedância para a terra.

A.1.2

Configuração do banco de capacitores em derivação

O banco de capacitores em derivação é formado por uma ou mais unidades capacitivas de baixa tensão, ligadas em série e em paralelo até alcançar a tensão e potência especificadas. Como ilustração, a figura A.1.1 a seguir indica o diagrama unifilar de um banco em derivação, ligado em estrela com o neutro solidamente aterrado com três unidades capacitivas em série e quatro unidades capacitivas em paralelo.

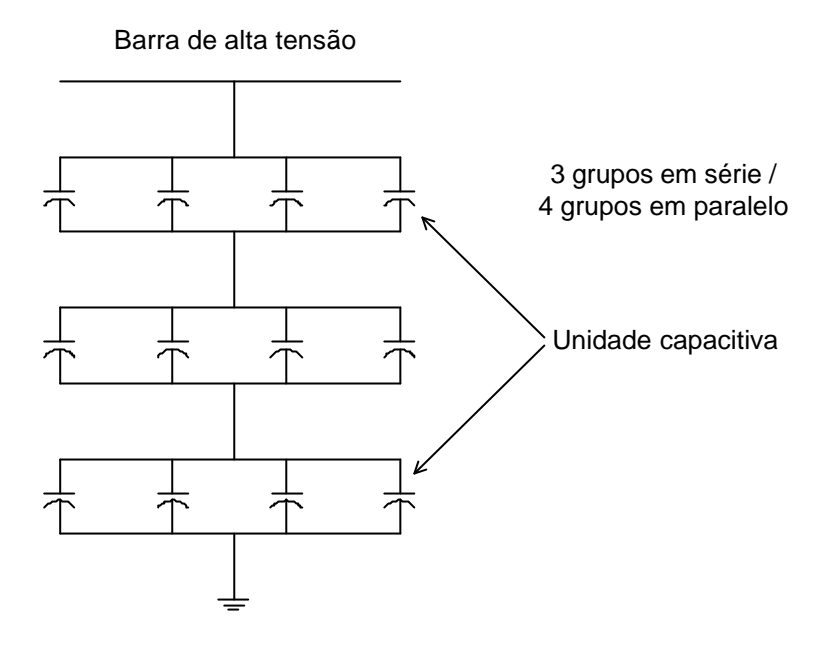


Figura A.1.1 – Banco de capacitores em derivação

A.1.3 Principais proteções de um banco de capacitores em derivação

A proteção primária de um banco de capacitores é o elo fusível associado às unidades capacitivas. Cada uma das unidades capacitivas que compõe o banco é individualmente protegida por elo fusível ligado em série com a mesma.

A função do elo fusível é romper durante um curto circuito interno na unidade capacitiva, isolando-a de operação o mais rápido possível, sem que haja a ruptura da respectiva caixa externa ou danos às unidades capacitivas adjacentes. Existem dois tipos de elo fusível, a saber:

fusível externo.

É aquele ligado externamente à unidade capacitiva. Normalmente estes fusíveis estão montados em porta-fusível que fica visível para o operador.

fusível interno.

Cada uma das unidades capacitivas é formada por s elementos em série e p elementos em paralelo. O fusível interno é ligado em série com cada um destes elementos e está localizado no interior da unidade capacitiva, não sendo visível externamente.

O emprego de fusível interno ou externo dependerá do tipo de aplicação e da disponibilidade especificada para o banco de capacitores em derivação.

O fusível interno é mais indicado para capacitores associados a filtro harmônico porque a variação na capacitância total no banco é menor quando rompe um elo fusível interno.

Dentre as demais proteções que compõem o banco, destacam-se a proteção de sobrecarga, proteção de desbalanço e proteção de sobretensão.

A.1.3.1

Proteção contra sobrecarga

Esta proteção mede a corrente eficaz de cada fase do banco de capacitores em derivação, possuindo dois níveis, a saber: um com ajuste mais baixo, gerando sinal de alarme para os operadores e outro, com ajuste superior, gerando o desligamento rápido do disjuntor do banco.

A.1.3.2

Proteção de desbalanço

Esta proteção poderá ser baseada no critério de corrente ou da tensão de desbalanço, dependendo da potência e do tipo de ligação do banco de capacitores em derivação.

Esta proteção irá operar quando houver a abertura de um ou mais elos fusível, gerando a abertura rápida do disjuntor do banco.

A.1.3.3

Proteção contra sobretensão

Como a unidade capacitiva que compõe o banco é sensível à tensão do sistema, o banco deverá ser desligado caso a tensão aplicada ficar acima dos valores especificados pela norma brasileira .

A.1.4

Aspectos relevantes da norma brasileira de capacitores

De acordo com a norma [8], o elo fusível deverá suportar as seguintes solicitações elétricas mantendo a sua integridade:

- suportar a maior corrente de carga do banco, incluindo componentes harmônicos, variação da tensão, e a tolerância na fabricação dos capacitores.
- suportar a corrente de "inrush" quando da energização, incluindo a descarga de outros bancos de capacitores em derivação ligados em paralelo (chaveamento em "back to back").
- suportar a corrente de descarga devido a curto circuito em outro elemento (ou unidade) capacitiva ligado em paralelo.
- abrir rapidamente no caso de curto circuito no respectivo elemento (ou unidade) capacitivo. No caso de fusível interno, a operação do elo fusível não deverá danificar os elementos adjacentes.

De acordo com esta norma, a suportabilidade de tensão da unidade capacitiva deverá ser como segue:

tensão de longa duração na frequência fundamental .

As unidades capacitivas deverão suportar os níveis de tensão indicados na tabela a seguir.

Tabela A.1.1- Suportabilidade de tensão para capacitores

Tipo	Tensão (valor eficaz)	Duração máxima
frequência nominal	1,0 * <i>U</i> _n	contínua
freqüência nominal	1,1* <i>U</i> _n	12 h por período de 24 h
frequência nominal	1,15 * U _n	30 minutos por período de 24 h
		de 24 II
frequência nominal	$1,20*U_{n}$	5 minutos
freqüência nominal	1,30 * U _n	1 minuto
freqüência nominal mais	Conforme nota 1 abaixo	
harmônicos		

Nota:

1) O valor da tensão deverá ser tal que a corrente nas unidades capacitivas deverá ser inferior a 1,31 vezes a corrente nominal da unidade excluindo os transitórios. Em função do valor real da capacitância, que poderá ser no máximo 1,10 vezes a capacitância nominal, a máxima corrente possível poderá ser de 1,44 vezes a corrente nominal. Estes fatores de sobrecorrente são destinados a levar em conta os efeitos combinados dos harmônicos e sobretensão de até 1,10 vezes a tensão nominal (Un).

A.1.5

Filtro harmônico

A.1.5.1

Tipos de ligação dos filtros

Os filtros podem ser ligados no sistema de duas formas:

ligação em série com o sistema.

Neste caso o filtro deverá ter isolamento de tensão e capacidade de corrente plenos, compatíveis com o sistema. Esta característica torna a sua aplicação mais cara e restrita a casos especiais.

■ ligação em derivação ("shunt").

A ligação em derivação é a mais usada por ser mais econômica, não necessitando de isolamento para a tensão plena nem capacidade de corrente elevada.

O filtro harmônico de sintonia simples é constituído de um banco de capacitores em derivação ligado em série com um reator de núcleo de ar.

A.1.5.2

Característica de frequência dos filtros de sintonia simples

A característica de um filtro [3] com sintonia simples é da seguinte forma:

$$\omega_n$$
 = freqüência angular de sintonia = $\frac{1}{\sqrt{L \times C}}$ (rad/s)

$$\delta =$$
 desvio de frequência em relação à frequência de sintonia = $\frac{\omega - \omega_n}{\omega_n}$

$$Z_{\rm filtro} = impedância \ do \ filtro \ (\Omega) = R + j(\omega L - \frac{1}{\omega C})$$

Q = fator de qualidade do filtro =
$$\frac{X_o}{R}$$

Manipulando-se algebricamente as equações acima obtém-se:

$$Z_{filtro} = R \times (1 + j(Q \times \delta \times \frac{2 + \delta}{1 + \delta}))$$

Na frequência de sintonia o módulo de Z_{filtro} fica limitado à sua componente resistiva. As figuras A.1.2 e A.1.3 mostram as características de módulo e ângulo para um filtro de 5° harmônico com fator de qualidade de 50 e resistor de 0,01 Ω .

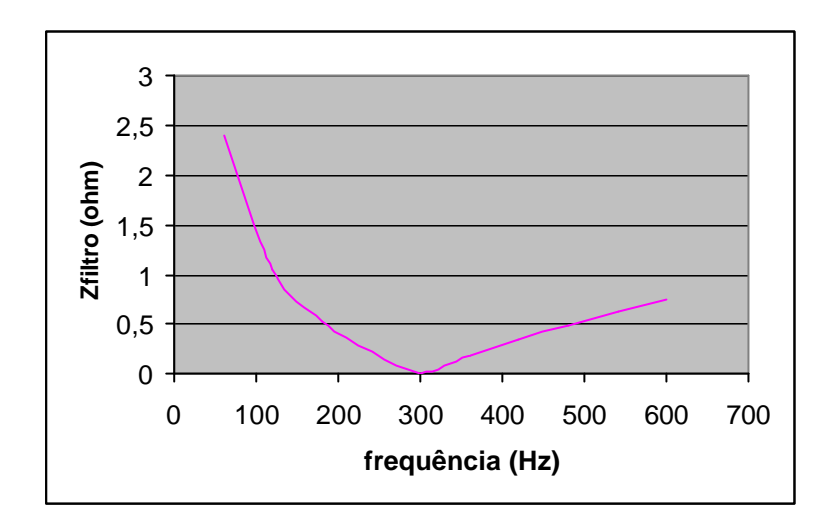


Figura A.1.2- Módulo de Z_{filtro} versus freqüência

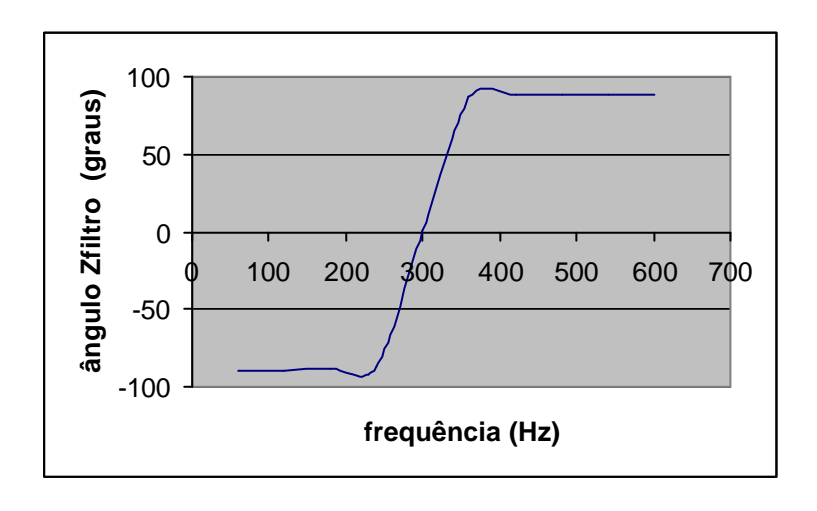


Figura A.1.3 – Ângulo de Z_{filtro} versus freqüência

Apêndice 2

Compensador estático de reativo

A configuração do compensador estático de reativo mais facilmente encontrada é composta de RCT, CCT e filtros de harmônicos ligados diretamente no barramento de baixa tensão do transformador acoplador. Vide figura A.2.1.

A seguir encontra-se uma descrição sumária dos principais equipamentos que compõem o CER.

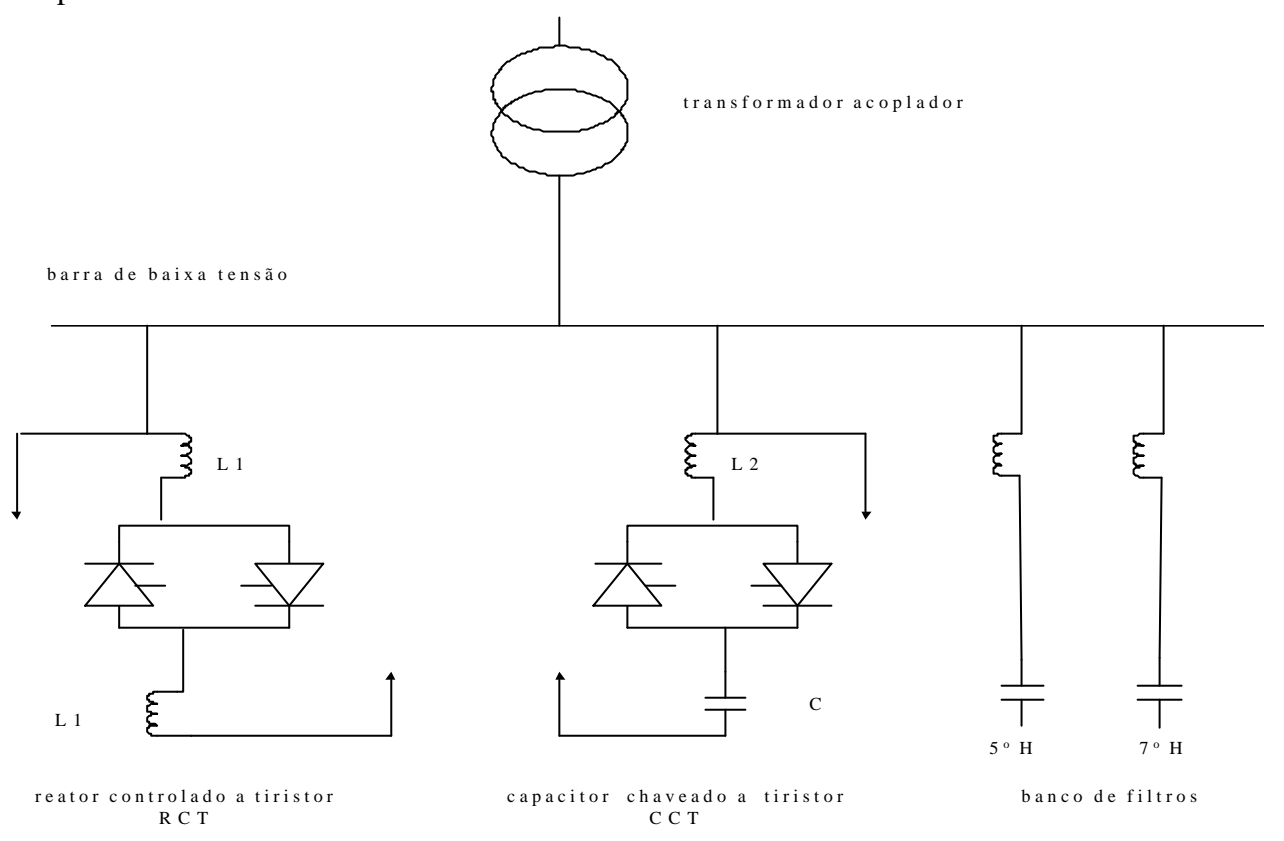


Figura A.2.1 – Diagrama do compensador estático de reativo

A.2.1.

Transformador acoplador

Este transformador é dedicado ao CER, possui ligação estrela aterrada no lado de alta tensão e triângulo no lado de baixa tensão e difere de um transformador convencional nos seguintes aspectos:

- a escolha da tensão nominal do lado de baixa tensão influencia no projeto da válvula tiristora e dos filtros harmônicos devendo, portanto, ser otimizada em conjunto com estes componentes.
- este transformador deverá suportar em regime permanente a componente de corrente contínua gerada na válvula tiristora do RCT. Esta componente em c.c. aparece devido à assimetria nas correntes das polaridades positiva e negativa da válvula, causada pela tolerância dos componentes do circuito de disparo da válvula tiristora.

A impedância de curto circuito deste transformador tem influência no projeto do CER da seguinte forma:

- se for um valor muito elevado, a tensão do lado de baixa tensão deverá ser aumentada para compensar a queda de tensão no transformador quando o ponto de operação do CER for capacitivo.
- se for um valor muito baixo, a suportabilidade dos equipamentos de baixa tensão durante curto circuito deverá aumentar.
- na prática, o valor típico da impedância de curto circuito fica situado na faixa de 10% a 13% na base do transformador.

A.2.2

Válvula Tiristora

A.2.2.1

Ligação da válvula

Cada fase da válvula é formada por módulos ligados em série, sendo que cada módulo possui 2 tiristores ligados em anti-paralelo, ou seja, o anodo de um tiristor está ligado ao catodo do outro e vice versa. Desta forma, um tiristor conduzirá no sentido da polaridade positiva e o outro conduzirá no sentido da polaridade negativa da tensão. A ligação da válvula é sempre em triângulo.

A.2.2.2.

Número de tiristores ligados em série

O número mínimo de tiristores em série depende da aplicação da válvula, se RCT ou CCT. Os casos determinantes para a definição do número mínimo de tiristores são:

- para a válvula do RCT.
 Curto circuito trifásico externo ao CER seguido da reaplicação de tensão plena no CER.
- para a válvula do CCT.
 É o caso do disparo errôneo da válvula ("valve misfiring").

A.2.2.3

Circuito de amortecimento da válvula tiristora

A finalidade do circuito de amortecimento é reduzir as sobretensões internas que aparecem durante o processo de extinção da corrente no tiristor. Este circuito consiste de capacitores e resistores ligados em série e em paralelo com os respectivos tiristores.

A.2.2.4

Circuito de disparo dos tiristores

O sinal de disparo dos tiristores é gerado pelo regulador de tensão, localizado no potencial de terra e é transmitido por sinal de luz até o tiristor através de fibra óptica. Existem dois tipos de disparo de tiristores, a saber:

disparo indireto por luz.

Nesta aplicação o tiristor é efetivamente disparado por um sinal elétrico. O sinal de luz antes de chegar no "gate" do tiristor é convertido para um sinal elétrico que disparará o tiristor.

disparo direto por luz.

Nesta aplicação o disparo do tiristor é feito diretamente por sinal de luz. Para tal, o tiristor deverá ser do tipo apropriado ("ligth triggered thyristor" – LTT).

A.2.2.5

Circuito eletrônico de disparo do tiristor

É o circuito de controle de mais baixo nível na hierarquia. No caso do disparo indireto por luz, este circuito tem por finalidade converter o sinal de luz em um sinal elétrico que irá disparar o tiristor. Em adição a esta função, incorpora a proteção de sobretensão do tiristor ("voltage break over protection") cuja função é fazer o disparo incondicional de cada tiristor quando a tensão aplicada sobre a válvula atingir valores elevados.

O requisito principal deste circuito é garantir o disparo do tiristor em qualquer condição de operação do sistema de transmissão durante um tempo mínimo, tal como: subtensão sustentada, distorção na tensão de sincronização, etc.

No caso de circuito de disparo direto por luz somente a função de proteção de sobretensão está implementada neste circuito.

A.2.3

Reator de Núcleo de Ar

Este reator é parte integrante do RCT e do CCT, estando ligado em série com as respectivas válvulas tiristoras. No caso do CCT, o reator tem por finalidade reduzir a taxa de crescimento $(\frac{di}{dt})$ da corrente durante a energização do banco de capacitores.

A.2.4

Banco de Filtros Harmônicos

Os banco de filtros drenam as correntes harmônicas geradas durante o processo de condução do RCT. Estes filtros geralmente são de sintonia simples para as harmônicas de baixa ordem, normalmente 5° , 7° , 11° e 13° harmônico.

A.2.5

Regulador de tensão

O regulador de tensão é do tipo PID (proporcional-integral-derivativo) cuja função é determinar o instante de disparo da válvula tiristora a partir do sinal de erro $\mathbf{e} = V_{barra} - V_{ref}$. O princípio básico usado para os reguladores de tensão é o "Phase Locked Loop" descrito em [22].

No caso do RCT o controle de tensão é do tipo contínuo ('Vernier') entre os ângulo de disparo mínimo (α_{min}) e máximo (α_{max}).

No caso do CCT, o controle de disparo é do tipo discreto (liga-desliga).

A.2.6

Desempenho do CER durante operação em regime permanente

Supor um CER que possua RCT, CCT e um banco de filtros como indicado na figura A.2.1 e considere os seguintes valores em p.u. referidos ao lado de baixa tensão do transformador acoplador:

Q_{RCT} = potência reativa indutiva absorvida pelo RCT.

Q_{CCT} = potência reativa capacitiva gerada pelo CCT.

Q_F = potência reativa capacitiva dos filtros de harmônicos do CER.

Na condição de máxima potência indutiva do CER, no lado de baixa tensão do transformador acoplador tem-se:

$$Q_{\text{secundário}} = Q_{\text{RCT}} + Q_{\text{F}}$$

Na condição de máxima potência indutiva o CCT é desligado por ação do regulador de tensão.

Na condição de máxima potência capacitiva do CER, no lado de baixa tensão do transformador acoplador tem-se:

$$Q_{secund{\acute{a}rio}} = Q_{CCT} + Q_F$$

Na condição de máxima potência capacitiva o RCT é disparado com ângulo mínimo por ação do regulador de tensão.

Como normalmente os valores de potência reativa do CER são especificados para o lado de alta tensão, o valor da potência reativa total em p.u. calculada no lado de baixa tensão do transformador acoplador é dado pela seguinte expressão:

$$Q_{\text{secundário}} = Q_{\text{primário}} (1 + Z_{cc} \frac{Q_{\text{primário}}}{S_{n}})$$

Nesta expressão são conhecidos todos os valores exceto $Q_{\text{secundário}}$ do CER, sendo $Q_{\text{primário}}$ a potência efetivamente entregue no lado de alta tensão do transformador. A convenção de sinais adotada é:

Q_{primário} < 0, se indutivo.

 $Q_{primário} > 0$, se capacitivo.

 Z_{cc} é a impedância de curto circuito do transformador acoplador em p.u na base de potência S_n do mesmo.

A tensão em p.u. no lado de baixa tensão do transformador é dada pela seguinte expressão:

$$V_{\text{sec undário}} = V_0 (1 + Z_{\text{cc}} \frac{Q_{\text{primário}}}{S_n}); \text{ onde}$$

V₀ é tensão do secundário em vazio (CER em 0 MVAr).

A tensão do lado de baixa tensão do compensador estático $V_{\rm secundário}$ irá variar entre dois valores extremos e correspondentes às situações de máxima potência indutiva (tensão secundária mínima) e de máxima potência capacitiva (tensão secundária máxima).

Para a operação no lado indutivo:

$$V_{\text{sec undário}} = V_0 \ (1 - Z_{\text{cc}} \frac{Q_{\text{primário}}}{S_n}) \ \therefore V_{\text{secundário}} < V_0$$

Para a operação no lado capacitivo:

$$V_{\text{sec undário}} = V_0 \left(1 + Z_{\text{cc}} \frac{Q_{\text{primário}}}{S_n}\right) \therefore V_{\text{secundário}} > V_0$$

A potência reativa indutiva gerada pelo RCT em função do ângulo de disparo alfa (a) é dada pela expressão:

$$Q_{RCT} = \frac{3V_{sec}^{2} \left(\frac{1}{\pi}(\sigma - sen \sigma)\right)}{2L\omega}$$

Onde:

 σ = ângulo de condução da válvula, dado pela expressão: σ = 2(π - α)

L= indutância total do reator de núcleo de ar que faz parte do RCT.

 $\omega = 377 \text{rad/s}$

A potência gerada pelo CCT com valor de capacitância total de C será:

$$Q_{CCT} = 3\frac{n^2}{n^2 - 1}(V_{\text{secundário}})^2 C2\pi f$$

A.2.6.1

Consideração sobre o ângulo de disparo (a) do RCT.

Teoricamente o ângulo $\it a$ pode variar entre $\alpha_{min} = 90^{\circ}\,e$ $\alpha_{max} = 180^{\circ}$ medido a partir do cruzamento por zero da tensão fase-fase aplicada sobre a válvula. Quando $\alpha = 90^{\circ}$ a corrente na válvula é uma senóide perfeita. Quando $\alpha = 180^{\circ}$ a corrente na válvula será nula. Na prática nenhum destes 2 limites é atingido.

Como os tiristores estão ligados em anti-paralelo, uma determinada polaridade somente poderá conduzir quando houver garantia de que a corrente da outra polaridade extinguiu. Deste modo, o disparo é atrasado de $\alpha = 90^{\circ}$ para um valor ligeiramente maior, por exemplo: $\alpha = 94^{\circ}$. Este valor é função das características elétricas do fabricante do tiristor que está sendo usado no projeto.

Quando $\alpha = 180^{\circ}$ a corrente de condução do tiristor ficará intermitente com valor médio próximo de zero. Para contornar este problema o disparo é ligeiramente antecipado para 175° .

A.2.6.2

Considerações sobre o reator de núcleo de ar associado ao CCT

O conjunto reator ligado em série com o banco de capacitores é ressonante na freqüência de ordem $n=\frac{1}{2\pi f\sqrt{LC}}$, cujo valor típico é de 3 a 5 vezes a freqüência fundamental.

A.2.6.3

Geração de corrente harmônica pelo RCT

Analiticamente a corrente no RCT tem a seguinte expressão:

$$I_{RCT} = \begin{cases} \frac{\sqrt{2} V_{secund\acute{a}rio}}{2\pi f L} \cos \alpha - \cos(\omega t) & \alpha < \omega t < \alpha + \sigma \\ \\ 0 & \alpha + \sigma < \omega t < \alpha + \pi \end{cases}$$

Em condições de equilíbrio, a corrente harmônica de ordem h do RCT tem a seguinte expressão geral:

$$\frac{I_h}{I_L} = \frac{4}{\pi h(h^2 - 1)} (\cos \alpha. \text{sen}(n\alpha) - n. \text{sen } \alpha. \cos(n\alpha)); \text{ sendo } n = 3, 5, 7 \text{ etc.}$$

O valor $I_{\scriptscriptstyle L}$ é o valor eficaz da corrente no reator de núcleo de ar quando $\alpha=90^\circ.$

Em condições de simetria o componente de 3° harmônico e seu múltiplos inteiros ficam mitigados dentro da ligação em delta da válvula do RCT. Desta forma, os harmônicos característicos gerados são os de ordem 5° , 7° , 11° , 13° , etc.

A figura A.2.2 mostra o conteúdo percentual de 5° e 7° harmônico da corrente do RCT em função do ângulo de disparo α . Conforme pode ser observado os valores máximos das correntes harmônicas não ocorrem para o mesmo valor de a.

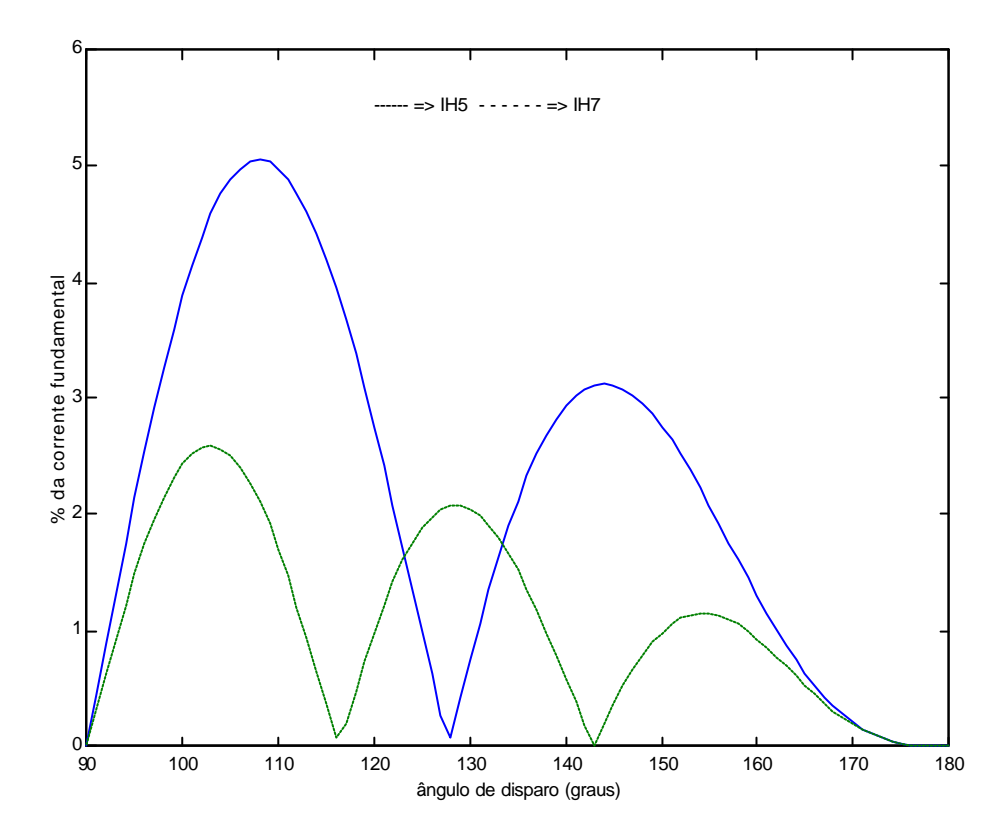


Figura A.2.2 – Corrente harmônica gerada pelo RCT

Apêndice 3

Auto-excitação de geradores e compensadores síncronos

Neste apêndice estão apresentadas as equações para uma máquina síncrona de rotor liso, sem enrolamento de amortecimento, imediatamente após a ligação de uma carga terminal trifásica puramente capacitiva de valor C nos seus terminais [23, 24, 25]. São desprezados os efeitos de saturação, de qualquer não linearidade na máquina, da ação dos reguladores, variação no tempo dos enlaces de fluxo nos enrolamentos e as perdas Joule mo estator. As equações abaixo estão normalizadas em p.u na base do gerador.

Como a auto-excitação envolve sobrevelocidade e aumento de tensão terminal, a análise simplificada aqui apresentada é válida para o instante $t=0^+$ e deverá ser complementada por um estudo mais apurado, usando ferramenta digital, onde a modelagem do gerador deverá ser completa.

A simbologia adotada neste anexo é a seguinte:

 ω : velocidade angular.

L₁: indutância de dispersão do estator.

 L_{ad} , L_{ad} ; indutância mútua nos eixos direto e em quadratura, respectivamente.

 \mathbf{L}_{d} , \mathbf{L}_{q} : indutância própria nos eixos direto e em quadratura, respectivamente.

 $\boldsymbol{e}_{\text{fd}}$, $\boldsymbol{i}_{\text{fd}}$: tensão e corrente de campo, respectivamente

 E_{fd} : tensão de campo na base X_{ad} .

 $L_{\mbox{\tiny fid}}$, $r_{\mbox{\tiny fid}}$: indutância de dispersão e resistência do campo, respectivamente.

 $i_{_{\rm d}},\,i_{_{\rm q}}\!:$ corrente da armadura no eixo direto e em quadratura, respectivamente.

 $\psi_{\text{\tiny d}}$, $\psi_{\text{\tiny q}}$:enlace de fluxo no eixo direto e em quadratura, respectivamente.

 ψ_{fd} : enlace de fluxo do campo

 $\psi_{k\alpha}$: enlace de fluxo no eixo em quadratura.

 $T_{d0}^{'}$, $T_{q0}^{'}$:constante de tempo em circuito aberto no eixo direto e em quadratura no período transitório, respectivamente.

 $e_{d}^{'}$, $e_{q}^{'}$: tensão interna da máquina no eixo direto e em quadratura no período transitório, respectivamente.

A.3.1

Equações do eixo direto

A figura A.3.1 mostra o circuito equivalente do eixo direto.

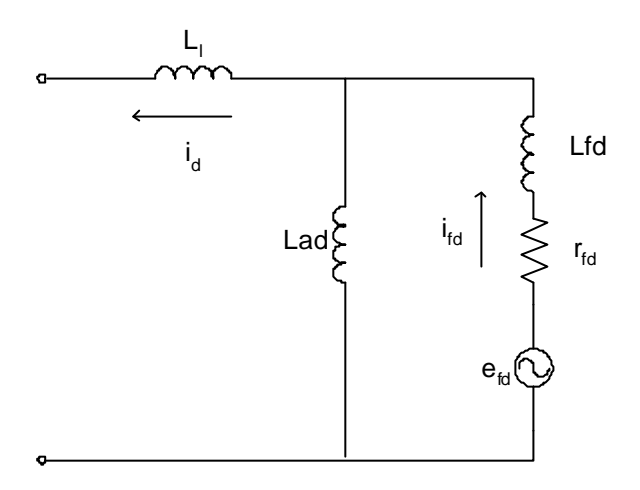


Figura A.3.1- Circuito equivalente do eixo direto

$$\frac{e_{q}^{'}}{\omega} = \frac{L_{ad}}{L_{fd}} \psi_{fd} = \frac{1}{T_{d0}^{'}} \int (E_{fd} - L_{ad} i_{fd}) dt$$
 (1)

$$\psi_{\text{fd}} = \int (E_{\text{fd}} - L_{\text{ad}} i_{\text{fd}}) dt \text{ sendo} \quad E_{\text{fd}} = \frac{L_{\text{ad}}}{r_{\text{fd}}} e_{\text{fd}}$$
 (2)

$$T_{d0}' = \frac{L_{fd} + L_{ad}}{r_{fd}}$$
 (3)

$$\psi_{fd} = i_{fd} (L_{fd} + L_{ad}) - L_{ad} i_{d} \qquad \therefore \qquad i_{fd} = \frac{\psi_{fd} + L_{ad} i_{d}}{(L_{fd} + L_{ad})}$$
(4)

$$\psi_{d} = L_{ad}i_{fd} - (L_{1} + L_{ad})i_{d}$$
 (5)

Substituindo em (5) o valor de i_{fd} indicado em (4), tem-se:

$$\Psi_{d} = L_{ad} \frac{\Psi_{fd} + L_{ad} i_{f}}{(L_{fd} + L_{ad})} - (L_{1} + L_{ad}) i_{d}$$
(6)

$$\psi_{d} = \frac{L_{ad}\psi_{fd}}{(L_{fd} + L_{ad})} + \frac{L_{ad}^{2}i_{d}}{(L_{fd} + L_{ad})} - (L_{1} + L_{ad})i_{d}$$

$$\psi_{d} = \frac{L_{ad}\psi_{fd}}{(L_{fd} + L_{ad})} + \left(\frac{L_{ad}^{2}}{(L_{fd} + L_{ad})} - (L_{1} + L_{aq})\right) d$$

$$\psi_{d} = \frac{L_{ad}\psi_{fd}}{(L_{fd} + L_{ad})} + \left(\frac{L_{ad}^{2} - L_{1}L_{fd} - L_{ad}L_{fd} - L_{ad}L_{1} - L_{2}_{aq}}{L_{fd} + L_{ad}}\right)_{d}$$

$$\psi_{d} = \frac{L_{ad}\psi_{fd}}{(L_{fd} + L_{ad})} - \left(L_{1} + \frac{L_{fd}L_{ad}}{(L_{fd} + L_{ad})}\right)_{d}$$

$$L_{d} = L_{1} + \frac{L_{fd}L_{ad}}{(L_{fd} + L_{ad})}$$
(7)

$$\psi_{d} = \frac{e_{q}^{\prime}}{\omega} - i_{d} L_{d}^{\prime} \tag{8}$$

A.3.2

Equações do eixo em quadratura

A figura A.3.2 mostra o circuito equivalente no eixo em quadratura.

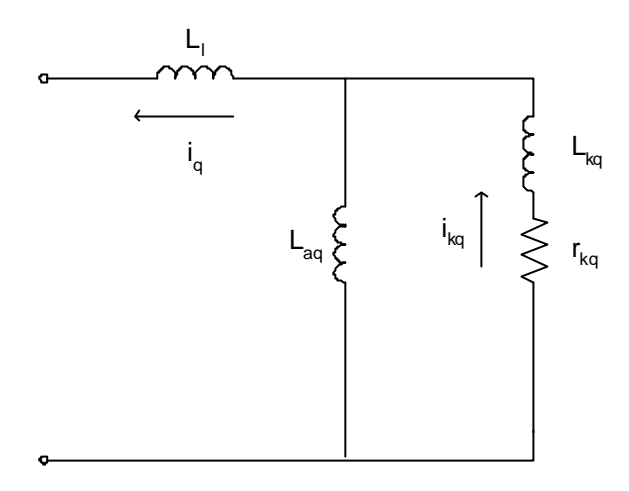


Figura A.3.2- Circuito equivalente no eixo em quadratura

$$e_{kq} = -\frac{d\psi_{kq}}{dt} = r_{kq}i_{kq} \qquad \qquad \therefore \qquad \psi_{kq} = -\int r_{kq}i_{kq}dt \qquad (9)$$

$$\psi_{\mathbf{q}} = L_{\mathbf{a}\mathbf{q}} \mathbf{i}_{\mathbf{k}\mathbf{q}} - L_{\mathbf{q}} \mathbf{i}_{\mathbf{q}} \tag{10}$$

$$L_{q} = L_{l} + L_{aq} \tag{11}$$

$$\psi_{kq} = i_{kq} (L_{aq} + L_{kq}) - i_{q} L_{aq} \quad \therefore \quad i_{kq} = \frac{\psi_{kq} + i_{q} L_{aq}}{L_{aq} + L_{kq}}$$
 (12)

Substituindo (11) e (12) em (10) e colocando $\,i_{_{q}}\,$ em $\,$ evidência, tem-se:

$$\psi_{q} = L_{aq} \frac{\psi_{kq} + i_{q} L_{aq}}{(L_{kq} + L_{aq})} - (L_{1} + L_{aq})i_{q} = \frac{L_{aq}}{(L_{kq} + L_{aq})} \psi_{kq} + \left(\frac{L_{aq}^{2}}{(L_{kq} + L_{aq})} - (L_{1} + L_{aq})\right) I_{q}$$

$$\psi_{d} = \frac{L_{aq}}{(L_{kq} + L_{aq})} \psi_{kq} + \left(\frac{L_{aq}^{2} - L_{1}L_{kq} - L_{kq}L_{aq} - L_{1}L_{aq} - L_{aq}^{2}}{(L_{kq} + L_{aq})} \right)_{q}$$

como:
$$L_{q} = L_{1} + \frac{L_{aq}L_{kq}}{(L_{kq} + L_{aq})}$$
 $e = \frac{e_{d}}{\omega} = -\frac{L_{aq}}{L_{aq} + L_{kq}} \psi_{kq}$

$$\psi_{\mathbf{q}} = -\frac{\mathbf{e}_{\mathbf{d}}^{\prime}}{\omega} - \mathbf{L}_{\mathbf{q}}^{\prime} \mathbf{i}_{\mathbf{q}} \tag{13}$$

A.3.3

Equações da corrente e tensão do estator

$$e_{q} = \omega \psi_{d} = \omega (\frac{e_{q}^{'}}{\omega} - i_{d} L_{d}^{'}) = e_{q}^{'} - i_{d} \omega L_{d}^{'}$$
 (14)

$$i_d = Cpe_d - \omega Ce_q$$
 onde $p = \frac{d}{dt}$; $Cpe_d = 0$ \therefore $i_d = -\omega Ce_q$ (15)

Substituindo a equação (14) na equação (15):

$$i_{d} = -\omega C e_{q} + \omega^{2} C L_{d} i_{d} \qquad \therefore \quad i_{d} = \frac{-e_{q} \omega C}{1 - \omega^{2} L_{d} C}$$
 (16)

$$i_q = Cpe_q + \omega Ce_d$$
; onde $Cpe_q = 0$

$$\mathbf{e}_{d} = -\omega \psi_{q} = -\omega \left(\frac{\mathbf{e}_{d}}{\omega} - \mathbf{L}_{q} \mathbf{i}_{q}\right) = \mathbf{e}_{d} + \mathbf{L}_{q} \mathbf{i}_{q} \omega \tag{17}$$

$$i_q = \omega C e_d = e_d \omega C + i_q \omega^2 L_q C$$

Substituindo o valor de e_d pela equação (17):

$$i_{q} = \frac{e_{d}\omega C}{1 - \omega^{2} L_{q}C}$$
 (18)

Fazendo a transformação de Laplace na equação (1):

$$e_{q}(s) = \frac{\omega}{sT_{d0}} (E_{fd}(s) - L_{ad}i_{fd}(s))$$
 (19)

sabendo que $\boldsymbol{y}_{\scriptscriptstyle d} = L_{\scriptscriptstyle ad} i_{\scriptscriptstyle fd}$ e substituindo pela equação 8

$$\frac{e_{q}(s)}{\omega} = \frac{1}{sT_{d0}} \left(E_{fd}(s) - \frac{e_{q}(s)}{\omega} - i_{d}(s)(L_{d} - L_{d}) \right)$$
(20)

Colocando o termo em $e_q(s)$ em evidência:

$$e_{q}(s) \left(\frac{1}{\omega} + \frac{1}{s\omega T_{d0}} + \frac{\omega C}{(1 - \omega^{2} L_{d}C)sT_{d0}} (L_{d} - L_{d}) \right) = \frac{E_{fd}(s)}{sT_{d0}}$$

$$e_{q}(s) \left(\frac{s}{\omega} + \frac{1}{T_{d0}\omega} + \frac{\omega C(L_{d} - L_{d})}{(1 - \omega^{2}L_{d}C)T_{d0}} (L_{d} - L_{d}) \right) = \frac{E_{fd}(s)}{T_{d0}}$$

$$e_{q}(s) \left(\frac{s}{\omega} + \frac{(1 - \omega^{2} L_{d}C) - \omega^{2} C(L_{d} - L_{d})}{T_{d0}\omega(1 - \omega^{2} L_{d}C)} \right) = \frac{E_{fd}(s)}{T_{d0}}$$

$$e_{q}(s) \frac{1}{\omega} \left(s + \frac{1 - \omega^{2} C L_{d}}{T_{d0}(1 - \omega^{2} L_{d} C)} \right) = \frac{E_{fd}(s)}{T_{d0}}$$

$$e_{q}'(s) = \left(\frac{1}{s + \frac{1 - \omega^{2} L_{d} C}{T_{d0}'(1 - \omega^{2} L_{d}'C)}}\right) \left(\frac{\omega E_{fd}'(s)}{T_{d0}'} + e_{q}'(0)\right)$$
(21)

Sendo $e_{q0}^{'}(0)$ a condição inicial em t=0.

Chamando $\frac{1-\omega^2 L_d C}{T_{d0}(1-\omega^2 L_d C)}$ de "a", a transformada inversa no domínio do tempo de $\frac{1}{s+a}$ é igual a e^{-at} que irá decair exponencialmente quando a>0 para uma dada velocidade angular e considerando que $L_d>L_d$. O maior valor de capacitância no terminal da máquina, sem que haja auto-excitação no eixo direto, será quando $\omega^2 L_d C=1$ donde $C_{max\ imo}=\frac{1}{\omega^2 L_d}$. Notar que a velocidade angular da máquina aparece com expoente 2 no denominador de $C_{max\ imo}$.

De modo análogo, obtém-se para o eixo em quadratura:

$$\frac{e_{d}^{'}}{\omega} = \frac{1}{T_{q}^{'}} \int (L_{aq} i_{kq}) dt$$

$$\frac{e_{d}(s)}{\omega} = \frac{1}{sT_{q0}} L_{aq} i_{kq}(s)$$

$$T_{q0}' = \frac{L_{aq} + L_{kq}}{r}$$
(22)

onde

substituindo o valor de $L_{aq}i_{kq}$ em (21) pelo valor de ψ_q em 10, obtém-se:

$$\frac{e_{d}(s)}{\omega} = \frac{1}{sT_{q0}} \left(\psi_{q} + L_{q}i_{q} \right)$$

substituindo (13) e (18) na equação acima, tem-se:

$$\frac{e_{d}(s)}{\omega} = \left(-\frac{e_{d}(s)}{\omega} + \left(L_{q} - L_{q}\right)\left(\frac{e_{d}(s)\omega C}{1 - \omega^{2}L_{q}C}\right)\right)$$

$$\frac{e_{d}(s)}{\omega} = \frac{1}{sT_{q0}} \left(-\frac{e_{d}(s)}{\omega} + \frac{e_{d}(s)\omega C(L_{q} - L_{q})}{1 - \omega^{2}L_{q}C} \right)$$

$$\frac{e_{d}(s)}{\omega} = \frac{-e_{d}(s)}{sT_{q0}} \left(\frac{1}{\omega} - \frac{\omega C(L_{q} - L_{q})}{1 - \omega^{2}L_{q}C} \right)$$

$$\frac{e_{d}^{'}(s)}{\omega} = \frac{-e_{d}^{'}(s)}{sT_{q0}^{'}} \left(\frac{1 - \omega^{2}L_{q}C}{(1 - \omega^{2}L_{q}C)\omega} \right); \quad \text{simplificando o valor de } \omega \text{ nesta equação}$$

$$e_{d}(s) = -\frac{e_{d}(s)}{sT_{q0}} \left(\frac{1 - \omega^{2}CL_{q}}{1 - \omega^{2}L_{q}C} \right)$$
 (23)

$$-\operatorname{se}_{d}'(s) + \operatorname{e}_{d}'(0) = \operatorname{e}_{d}'(s) \left(\frac{1 - \omega^{2} \operatorname{CL}_{q}}{(1 - \omega^{2} \operatorname{L}_{q}^{2} \operatorname{C}) \operatorname{T}_{q0}'} \right); \text{ sendo } \operatorname{e}_{d}'(0) \text{ a condição inicial em T=0}$$

$$e_{d}(0) = e_{d}(s) \left(\frac{1 - \omega^{2} C L_{q}}{(1 - \omega^{2} L_{q} C) T_{q0}} \right) + s e_{d}(s)$$

$$e_{d}(s) = \frac{e_{d}(0)}{s + \left(\frac{1 - \omega^{2}CL_{q}}{(1 - \omega^{2}L_{q}C)T_{q0}}\right)}$$

Haverá amortecimento exponencial quando $\frac{1-\omega^2 C L_q}{(1-\omega^2 L_q C) T_{q0}} > 0$.

Desde que $L_q > L_q^{'}$ o ponto de auto-excitação no eixo em quadratura corresponderá a um valor máximo de $C_{máximo} = \frac{1}{\omega^2 L_q}$.

Apêndice 4

Característica de operação de um compensador síncrono em regime permanente

A.4.1 Introdução

Os compensadores síncronos são máquinas rotativas cuja a finalidade é gerar ou absorver potência reativa. A quantidade de potência reativa gerada ou absorvida pela máquina é continuamente controlada através da tensão de referência ($V_{\rm ref}$) do regulador de tensão.

Uma característica importante nos síncronos é que a potência ativa sendo gerada é zero ($P_{\rm G}=0$.).

Dada a característica rotativa da máquina, o tempo de resposta de um compensador síncrono quando submetido a um degrau em V_{ref} é superior ao tempo de resposta de um CER com mesma potência.

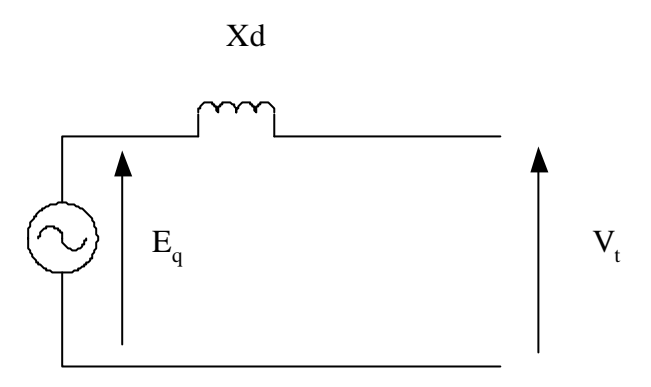
A.4.2 Característica de operação do compensador

Como a potência ativa gerada pelo compensador é nula, então:

$$P_G = 0 = V_t I_a \cos \theta$$
 $\therefore \cos \theta = 0$ $\therefore \theta = 90^\circ$

A corrente de armadura I_a estará em quadratura com a tensão terminal da máquina V_t ; se atrasada $Q_G>0$, se adiantada $Q_G<0$. No primeiro caso a máquina está sobreexcitada $(E_q>V_t)$ e no segundo caso a máquina está subexcitada $(E_q< V_t)$.

A figura A.4.1 mostra o diagrama vetorial do compensador síncrono nos seus 2 modos de operação, sobreexcitado e subexcitado.



 X_d : reatância síncrona eixo direto V_t : tensão terminal E_q : tensão interna I_a : corrente da armadura

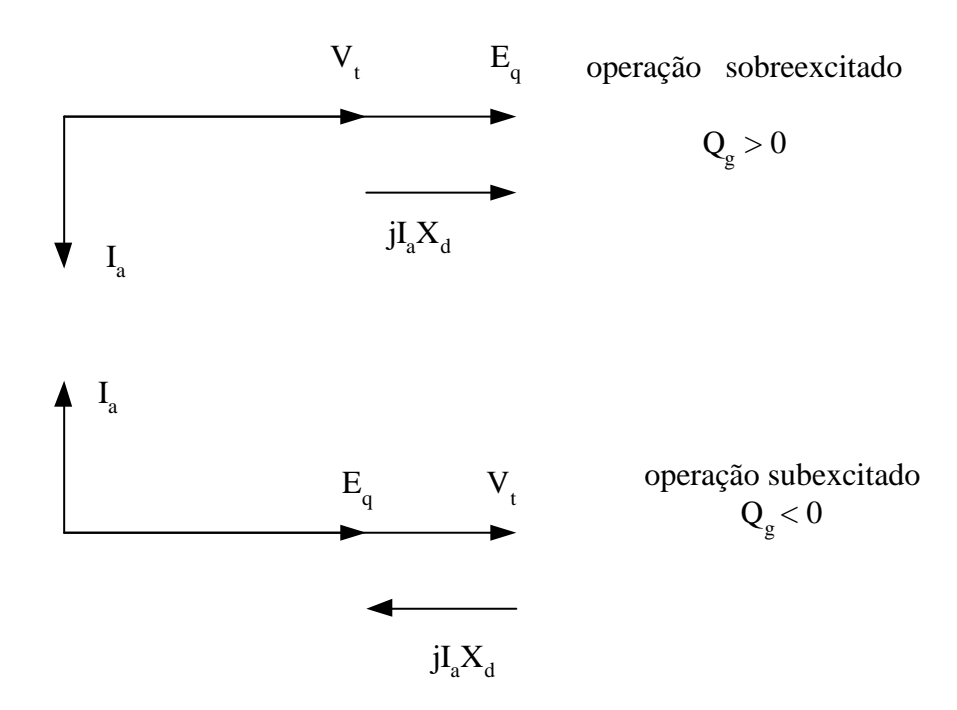
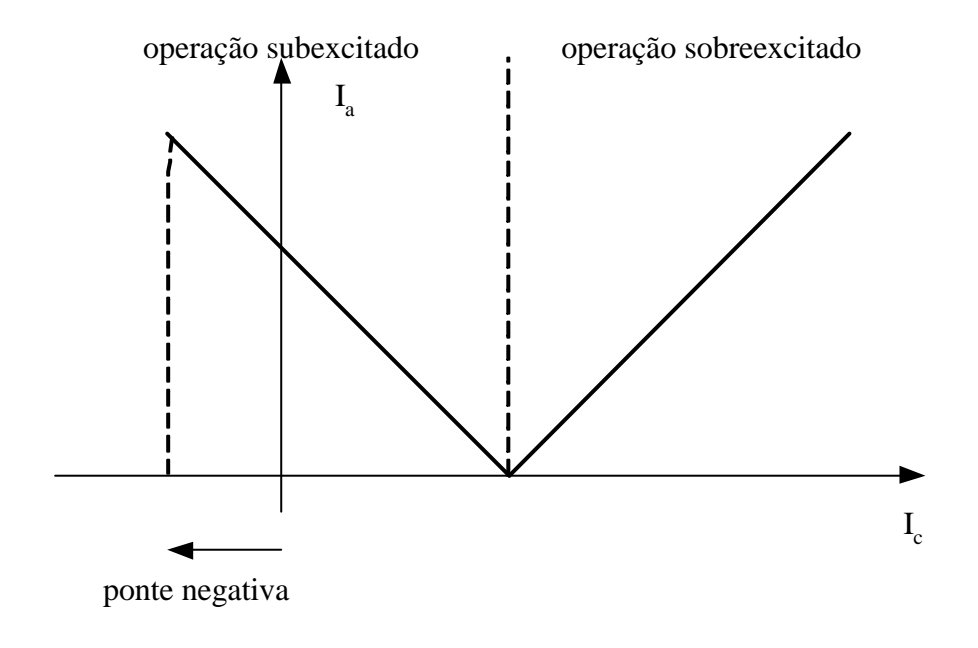


Figura A.4.1 – Característica de operação do síncrono em regime permanente

A curva em "V" de um compensador síncrono relaciona a corrente de campo (I_c) com a corrente de armadura (I_a) da máquina. A figura A.4.2 mostra a curva em "V" típica de um compensador síncrono.

Nesta figura, dada uma determinada corrente de armadura I_a corresponderão 2 pontos de operação do compensador, um para a região subexcitada e outro para a sobreexcitada. O ponto que a curva em "V" corta o eixo horizontal corresponde à operação em vazio, com o síncrono em 0 MVAr. Quando o requisito de subexcitação para a máquina é severo, como durante a auto-excitação, o compensador é equipado com ponte negativa no sistema de excitação.



 I_a : corrente de armadura I_c : corrente de campo

Figura A.4.2 – Curva em "V" típica de um compensador síncrono

Apêndice 5

Desenvolvimento das equações associadas à curva de capabilidade para um gerador síncrono

A.5.1

Cálculo da potência ativa e reativa de um gerador síncrono

A teoria de máquinas síncronas [16, 23, 24] apresenta as seguintes equações para a potência ativa e reativa, em p.u na base da máquina, para um gerador síncrono com pólos salientes, desprezando as perdas Joule e o efeito da saturação:

$$P_{G} = \frac{V_{t} E_{q}}{X_{d}} \sin \delta + \frac{V_{t}^{2}}{2} \left(\frac{1}{X_{q}} - \frac{1}{X_{d}} \right) \sin 2\delta$$
 (1)

$$Q_{G} = \frac{V_{t}E_{q}}{X_{d}}\cos\delta - V_{t}^{2}\left(\frac{\cos^{2}\delta}{X_{d}} + \frac{\sin^{2}\delta}{X_{q}}\right)$$
 (2)

 P_G : potência ativa gerada nos terminais do gerador (p.u).

Q_G: potência reativa gerada nos terminais do gerador (p.u).

 X_q : reatância no eixo em quadratura (p.u).

 X_d : reatância no eixo direto (p.u).

V_t: tensão terminal do gerador (p.u).

 δ : ângulo de carga do gerador (graus).

 E_q : tensão interna do gerador (p.u)

A.5.2

Capacidade máxima de geração de potência reativa em função da corrente da armadura

A expressão da potência reativa sendo gerada pela máquina em função da corrente máxima da armadura $I_{a,\,\text{max}}$ e da tensão terminal V_{t} tem a seguinte forma:

$$P_G^2 + Q_G^2 = V_t^2 I_{a, max}^2$$

manipulando-se a expressão acima indicada, tem-se:

$$Q_{G, a, \max/\min} = \pm \left(V_t^2 I_{a, \max}^2 - P_G^2 \right)^{1/2}$$
 (3)

Como existem duas raízes para a equação (3), a raiz positiva corresponderá à máxima potência reativa capacitiva $Q_{G,a,\max}$ enquanto que a raiz negativa corresponderá à máxima potência reativa indutiva $Q_{G,a,\min}$. A equação (3) é valida para ambos os tipos de gerador, com rotor cilíndrico e pólos salientes.

As limitações associadas à corrente de campo, e que serão estudadas logo a seguir, não possuem uma expressão analítica simples e direta tal como a apresentada para a limitação da corrente da armadura em (3). A aproximação prática normalmente feita é a de tratar os geradores como tendo o rotor cilíndrico.

A.5.3 Capacidade de geração em função das limitações da corrente de campo

Manipulando as equações (1) e (2) acima, obtém-se:

$$P_G^2 = \left(\frac{V_t E_q}{X_d} \operatorname{sen} \delta + \frac{V_t^2}{2} \left(\frac{1}{X_q} - \frac{1}{X_d}\right) \operatorname{sen} 2\delta\right)^2$$

desenvolvendo a expressão de P_G^2 e fazendo as seguintes substituições:

$$\sin^2\delta = 1 - \cos^2\delta$$

 $sen 2\delta = 2sen \delta cos \delta$

A expressão de P_G^2 ficará sendo:

$$P_{G}^{2} = \left(\frac{V_{t}E_{q}}{X_{d}}\right)^{2} \operatorname{sen}^{2} \boldsymbol{d} + \left[V_{t}^{2} \left(\frac{1}{X_{q}} - \frac{1}{X_{d}}\right)\right]^{2} \cos^{2} \boldsymbol{d} - \left[V_{t}^{2} \left(\frac{1}{X_{q}} - \frac{1}{X_{d}}\right)\right]^{2} \cos^{4} \boldsymbol{d} + \dots + 2\frac{V_{t}^{3}E_{q}}{X_{d}} \left(\frac{1}{X_{q}} - \frac{1}{X_{d}}\right) \cos \boldsymbol{d} - 2\frac{V_{t}^{3}E_{q}}{X_{d}} \left(\frac{1}{X_{q}} - \frac{1}{X_{d}}\right) \cos^{3} \boldsymbol{d}$$

Desenvolvendo a expressão de Q_G²:

$$Q_G^2 = \left(\frac{V_t E_q}{X_d} \cos \delta - V_t^2 \left(\frac{\cos^2 \delta}{X_d} + \frac{\sin^2}{X_q}\right)\right)^2$$

$$Q_G^2 = \left(\frac{V_t E_q}{X_d}\right)^2 \cos^2 \delta + \left[V_t^2 \left(\frac{\cos^2 \delta}{X_d} + \frac{\sin^2 \delta}{X_q}\right)\right]^2 - 2\frac{V_t E_q}{X_d} \cos \delta V_t^2 \left(\frac{\cos^2 \delta}{X_d} + \frac{\sin^2 \delta}{X_q}\right)\right]$$

A expressão do quadrado da potência aparente gerada no terminal do gerador terá a seguinte forma:

substituindo: $\sin^2 \delta \cos \delta = \cos \delta - \cos^3 \delta$

$$P_{G}^{2} + Q_{G}^{2} = \left(\frac{V_{t}E_{q}}{X_{d}}\right)^{2} \sin^{2} \mathbf{d} + \left[V_{t}^{2}\left(\frac{1}{X_{q}} - \frac{1}{X_{d}}\right)\right]^{2} \cos^{2} \mathbf{d} - \left[V_{t}^{2}\left(\frac{1}{X_{q}} - \frac{1}{X_{d}}\right)\right]^{2} \cos^{4} \mathbf{d} + \dots$$

$$+ 2\frac{V_{t}^{3}E_{q}}{X_{d}}\left(\frac{1}{X_{q}} - \frac{1}{X_{d}}\right) \cos \mathbf{d} - 2\frac{V_{t}^{3}E_{q}}{X_{d}}\left(\frac{1}{X_{q}} - \frac{1}{X_{d}}\right) \cos^{3} \mathbf{d} + \left(\frac{V_{t}E_{q}}{X_{d}}\right)^{2} \cos^{2} \mathbf{d} + \dots$$

$$+ \left[V_{t}^{2}\left(\frac{\cos^{2} \mathbf{d}}{X_{d}} + \frac{\sin^{2} \mathbf{d}}{X_{q}}\right)\right]^{2} - 2\frac{V_{t}E_{q}}{X_{d}} \cos \mathbf{d} V_{t}^{2}\left(\frac{\cos^{2} \mathbf{d}}{X_{d}} + \frac{\sin^{2} \mathbf{d}}{X_{q}}\right)$$

Manipulando algebricamente a $1^{\underline{a}}$, $2^{\underline{a}}$, $4^{\underline{a}}$ e $6^{\underline{a}}$ parcelas da soma $P_G^2 + Q_G^2$ acima indicada.

$$\left(\frac{V_t E_q}{X_d}\right)^2 \sin^2 \delta + \left[V_t^2 \left(\frac{1}{X_q} - \frac{1}{X_d}\right)\right]^2 \cos^2 \delta + 2\frac{V_t^3 E_q}{X_d} \left(\frac{1}{X_q} - \frac{1}{X_d}\right) \cos \delta + \left(\frac{V_t E_q}{X_d}\right)^2 \cos^2 \delta = \\ \left(\frac{V_t E_q}{X_d}\right)^2 \left(\sin^2 \delta + \cos^2 \delta\right) + \left[V_t^2 \left(\frac{1}{X_q} - \frac{1}{X_d}\right)\right]^2 \cos^2 \delta + 2\frac{V_t^3 E_q}{X_d} \left(\frac{1}{X_q} - \frac{1}{X_d}\right) \cos \delta = \\ \left(\frac{V_t E_q}{X_d} + V_t^2 \left(\frac{1}{X_q} - \frac{1}{X_d}\right) \cos \delta\right)^2 = A \text{ (assim chamado por conveniênc ia de notação)}$$

$$P_{G}^{2} + Q_{G}^{2} = A - \left[V_{t}^{2} \left(\frac{1}{X_{q}} - \frac{1}{X_{d}} \right) \right]^{2} \cos^{4} \mathbf{d} - 2 \frac{V_{t}^{3} E_{q}}{X_{d}} \left(\frac{1}{X_{q}} - \frac{1}{X_{d}} \right) \cos^{3} \mathbf{d} + \dots$$

$$+ \left[V_{t}^{2} \left(\frac{\cos^{2} \mathbf{d}}{X_{d}} + \frac{\sin^{2} \mathbf{d}}{X_{q}} \right) \right]^{2} - 2 \frac{V_{t}^{3} E_{q}}{X_{d}} \cos \mathbf{d} \left(\frac{\cos^{2} \mathbf{d}}{X_{d}} + \frac{\sin^{2} \mathbf{d}}{X_{q}} \right)$$

como $\cos^3 \delta = \cos^2 \delta \cos \delta$ e $\cos^4 \delta = \cos^2 \delta \cos^2 \delta$, fazendo algumas simplifica ções obtem -se :

$$\begin{split} P_{G}^{2} + Q_{G}^{2} &= A - \left[V_{t}^{2} \left(\frac{\cos^{2} \mathbf{d}}{X_{q}} - \frac{\cos^{2} \mathbf{d}}{X_{d}} \right) \right]^{2} - 2 \frac{V_{t}^{3} E_{q}}{X_{d}} \left(\frac{\cos^{2} \mathbf{d}}{X_{q}} - \frac{\cos^{2} \mathbf{d}}{X_{d}} \right) \cos \mathbf{d} + \dots \\ &+ \left[V_{t}^{2} \left(\frac{\cos^{2} \mathbf{d}}{X_{d}} + \frac{\sin^{2} \mathbf{d}}{X_{q}} \right) \right]^{2} - 2 \frac{V_{t}^{3} E_{q}}{X_{d}} \cos \mathbf{d} \left(\frac{\cos^{2} \mathbf{d}}{X_{d}} + \frac{\sin^{2} \mathbf{d}}{X_{q}} \right) \end{split}$$

$$\begin{split} P_{G}^{2} + Q_{G}^{2} &= A - \left[V_{t}^{2} \frac{\cos^{2} \mathbf{d}}{X_{q}} - V_{t}^{2} \frac{\cos^{2} \mathbf{d}}{X_{d}} \right]^{2} - 2 \frac{V_{t}^{3} E_{q}}{X_{d}} \left(\frac{\cos^{2} \mathbf{d}}{X_{q}} - \frac{\cos^{2} \mathbf{d}}{X_{d}} \right) \cos \mathbf{d} + \dots \\ &+ \left[V_{t}^{2} \frac{\cos^{2} \mathbf{d}}{X_{d}} + V_{t}^{2} \frac{\sin^{2} \mathbf{d}}{X_{q}} \right]^{2} - 2 \frac{V_{t}^{3} E_{q}}{X_{d}} \cos \mathbf{d} \left(\frac{\cos^{2} \mathbf{d}}{X_{d}} + \frac{\sin^{2} \mathbf{d}}{X_{q}} \right) \end{split}$$

$$P_{G}^{2} + Q_{G}^{2} = A - \left[V_{t}^{2} \frac{\cos^{2} \mathbf{d}}{X_{q}} - V_{t}^{2} \frac{\cos^{2} \mathbf{d}}{X_{d}} + V_{t}^{2} \frac{\cos^{2} \mathbf{d}}{X_{d}} + V_{t}^{2} \frac{\sin^{2} \mathbf{d}}{X_{q}} \right]^{2} - \dots$$

$$-2 \frac{V_{t}^{3} E_{q}}{X_{d}} \left(\frac{\cos^{2} \mathbf{d}}{X_{q}} - \frac{\cos^{2} \mathbf{d}}{X_{d}} + \frac{\cos^{2} \mathbf{d}}{X_{d}} + \frac{\sin^{2} \mathbf{d}}{X_{q}} \right) \cos \mathbf{d}$$

simplificando os termos em $(V_t^2 \frac{\cos^2 \delta}{X_d})^2$ e fazendo $\cos^2 \delta + \sin^2 \delta = 1$:

$$P_{G}^{2} + Q_{G}^{2} = A - \left(\frac{V_{t}^{2}}{X_{q}}\right)^{2} - 2\frac{V_{t}^{3}E_{q}}{X_{d}}\cos\delta\left(\frac{\cos^{2}\delta}{X_{q}} - \frac{\cos^{2}\delta}{X_{d}} + \frac{\cos^{2}\delta}{X_{d}} + \frac{\sin^{2}\delta}{X_{q}}\right)$$

$$P_G^2 + Q_G^2 = A - \left(\frac{V_t^2}{X_q}\right)^2 - 2\left(V_t^2 \left(\frac{V_t E_q}{X_d}\right)\right) \cos \delta \left(\frac{\cos^2 \delta}{X_q} + \frac{\sin^2 \delta}{X_q}\right)$$

substituindo o valor de A na expressão acima:

$$P_G^2 + Q_G^2 = \left(\frac{V_t E_q}{X_d} + V_t^2 \left(\frac{1}{X_q} - \frac{1}{X_d}\right) \cos \delta\right)^2 - \left(\frac{V_t^2}{X_q}\right)^2 - 2\left(V_t^2 \left(\frac{V_t E_q}{X_d}\right)\right) \cos \delta \left(\frac{\cos^2 \delta}{X_q} + \frac{\sin^2 \delta}{X_q}\right)$$

$$P_{G}^{2} + Q_{G}^{2} + \left(\frac{V_{t}^{2}}{X_{q}}\right)^{2} + 2\left(V_{t}^{2}\left(\frac{V_{t}E_{q}}{X_{d}}\right)\right)\cos\delta\left(\frac{\cos^{2}\delta}{X_{q}} + \frac{\sin^{2}\delta}{X_{q}}\right) = \left(\frac{V_{t}E_{q}}{X_{d}} + V_{t}^{2}\left(\frac{1}{X_{q}} - \frac{1}{X_{d}}\right)\cos\delta\right)^{2}$$

$$P_{G}^{2} + Q_{G}^{2} + \left(\frac{V_{t}^{2}}{X_{q}}\right)^{2} + 2\left(\frac{V_{t}^{2}}{X_{q}}\right)\left(\frac{V_{t}E_{q}}{X_{d}}\right)\cos\delta = \left(\frac{V_{t}E_{q}}{X_{d}} + V_{t}^{2}\left(\frac{1}{X_{q}} - \frac{1}{X_{d}}\right)\cos\delta\right)^{2}$$

neste ponto do desenvolvimento serão feitas as seguintes simplificações:

desprezando o efeito da relutância

$$Q_{G} = \frac{V_{t}E_{q}}{X_{d}}\cos\delta - \frac{V_{t}^{2}}{X_{d}} \cong \frac{V_{t}E_{q}}{X_{d}}\cos\delta$$

$$P_{G}^{2} + \left(Q_{G} + \frac{V_{t}^{2}}{X_{q}}\right)^{2} = \left(\frac{V_{t}E_{q}}{X_{d}} + V_{t}^{2}\left(\frac{1}{X_{q}} - \frac{1}{X_{d}}\right)\cos\delta\right)^{2}$$

$$(4)$$

• considerando o rotor cilíndrico $X_d = X_q$

$$P_G^2 + \left(Q_G + \frac{V_t^2}{X_d}\right)^2 = \left(\frac{V_t E_q}{X_d}\right)^2$$

O sistema de excitação de um gerador síncrono possui 2 limites para a corrente de campo quando da operação em regime permanente, a saber:

corrente máxima de campo.

É a corrente máxima permitida para a o sistema de excitação, determinada pela capacidade térmica dos tiristores e demais componentes deste sistema. Desprezando o efeito da saturação, a corrente de campo $\, I_{\rm fd} \,$ em p.u é igual à tensão interna da máquina $E_{\rm q} \,$ em p.u. Desta forma, a equação (4) terá a seguinte forma:

$$P_{G}^{2} + \left(Q_{G,r, \max} + \frac{V_{t}^{2}}{X_{d}}\right)^{2} = \left(\frac{V_{t}E_{q, \max}}{X_{d}} + V_{t}^{2}\left(\frac{1}{X_{q}} - \frac{1}{X_{d}}\right)\cos\delta\right)^{2}$$
 (5)

 $\boldsymbol{E}_{q,\text{max}}\,$ é o valor máximo possível de ser atingido pela tensão interna da máquina.

Considerando a máquina como sendo de rotor cilíndrico, a equação (5) ficará da seguinte forma:

$$P_{G}^{2} + \left(Q_{G,r, \max} + \frac{V_{t}^{2}}{X_{d}}\right)^{2} = \left(\frac{V_{t}E_{q, \max}}{X_{d}}\right)^{2}$$

$$Q_{G,r, \max} = -\frac{V_{t}^{2}}{X_{d}} \pm \left(\frac{V_{t}^{2}E_{qm, \max}}{X_{d}^{2}} - P_{G}^{2}\right)^{1/2}$$

$$Q_{G,r, \max} = -\frac{V_{t}^{2}}{X_{d}} + \left(\frac{V_{t}^{2}E_{qm, \max}}{X_{d}^{2}} - P_{G}^{2}\right)^{1/2}$$
(6)

corrente mínima de campo

É a corrente mínima capaz de garantir que os tiristores do circuito de campo permanecerão disparados. O valor típico desta corrente é da ordem de 5% da corrente nominal do campo.

Como indicado na equação (1), a potência ativa gerada P_G é reduzida com a redução do valor da tensão interna E_q . Na prática o valor de P_G é praticamente zero. A equação (4) tomará a forma:

$$\left(Q_{G, \max} + \frac{V_{t}^{2}}{X_{d}}\right)^{2} = \left(\frac{V_{t}E_{q, \max}}{X_{d}} + V_{t}^{2}\left(\frac{1}{X_{q}} - \frac{1}{X_{d}}\right)\cos\delta\right)^{2}$$
(7)

Considerando-se a máquina como de rotor cilíndrico:

$$(Q_{G,r, min} + \frac{V_t^2}{X_d})^2 = (\frac{V_t E_{q, min}}{X_d})^2$$

$$Q_{G,r, min} = -\frac{V_t^2}{X_d} + \frac{V_t E_{q, min}}{X_d}$$
(8)

A.5.4

Capacidade de geração com o gerador subexcitado

O gerador síncrono possui capacidade limitada de absorver potência reativa proveniente do sistema de transmissão. Esta capacidade de absorção de reativos poderá ser ativada por uma das seguintes formas:

manualmente pelo operador.

Neste caso, bastará o operador reduzir a tensão de referência ("set point") do regulador de tensão da máquina, fazendo $V_{\rm ref} < V_{\rm t}$.

mudança na topologia do sistema de transmissão.

Alterações na topologia do sistema, como por exemplo: energização de uma linha de transmissão longa, poderá fazer com que o gerador absorva a potência reativa excedente da rede como forma de regulação da tensão terminal.

 defeito no regulador de tensão (hardware) ou no sistema de medição associado.

Uma falha no "hardware" que compõe o regulador de tensão poderá fazer com que o gerador passe a absorver (indevidamente) potência reativa da rede.

Qualquer que seja a forma de absorção de reativo que foi ativada, para o gerador existe um limite máximo a partir do qual a máquina poderá perder o seu sincronismo com a rede, fazendo com que a mesma seja desligada pelo sistema de proteção.

Como forma de evitar a operação no limite de subexcitação, os reguladores de tensão são equipados com limitadores de subexcitação cuja ação resultante é a de aumentar a tensão de excitação (tensão interna E_{α}) da máquina.

A formulação matemática da operação subexcitada de um gerador é obtida a partir das equações (1) e (2), como segue:

$$\frac{P_G - \frac{V_t^2}{2} \left(\frac{1}{X_q} - \frac{1}{X_d}\right) 2 \operatorname{sen} \delta \cos \delta}{Q_G + V_t^2 \left(\frac{\cos^2 \delta}{X_d} - \frac{\operatorname{sen}^2}{X_q}\right)} = \frac{\frac{V_t E_q}{X_d} \operatorname{sen} \delta}{\frac{V_t E_q}{X_d} \cos \delta} = \tan \delta$$

$$\frac{P_G}{\tan \delta} - \frac{V_t^2 \cos \delta}{2 \tan \delta} \left(\frac{1}{X_q} - \frac{1}{X_d} \right) 2 \sin \delta \cos \delta = Q_G + V_t^2 \left(\frac{\cos^2 \delta}{X_d} - \frac{\sin^2 \delta}{X_q} \right)$$

$$\frac{P_{G}}{\tan \delta} - \frac{V_{t}^{2} \cos \delta}{X_{q}} + \frac{V_{t}^{2} \cos^{2} \delta}{X_{d}} = Q_{G} + V_{t}^{2} \left(\frac{\cos^{2} \delta}{X_{d}} - \frac{1 - \cos^{2} \delta}{X_{q}} \right)$$

$$\frac{P_G}{\tan \delta} = Q_G + \frac{V_t^2}{X_G} \tag{9}$$

 $A\ equação\ (9)\ indica\ que\ existe\ um\ valor\ máximo\ para\ o\ ângulo\ de\ carga$ $\delta,\ a\ partir\ do\ qual\ o\ gerador\ perderá\ o\ sincronismo.\ A\ este\ ângulo$ $\delta_{max}\ corresponderá\ um\ valor\ mínimo\ de\ potência\ reativa\ absorvida\ Q_{G,u,min}\ .$

$$Q_{G,u,min} = \frac{P_G}{\tan \delta_{max}} - \frac{V_t^2}{X_g}$$
 (10)

Pela equação (10), dada uma condição de despacho para o gerador, este deverá absorver no mínimo $Q_{G,u,min}$ para permanecer em sincronismo com a rede.

A reatância X_T do transformador elevador tem efeito na característica de subexcitação do gerador. A expressão considerando este efeito é:

$$Q_{_{G,u,min}} = \frac{P_{_G}}{\tan \delta_{_{max}}} - \frac{V_{_t}^2}{X_{_q} + X_{_T}}$$

As equações (3), (6), (8) e (9) desenvolvidas neste anexo formam o lugar geométrico no plano P_G , Q_G dos possíveis pontos de operação do gerador.

A simplificação feita considerando o rotor como sendo cilíndrico praticamente não modifica os limites indicados para a curva de capabilidade. Esta simplificação é conservativa, ficando a curva de capabilidade subestimada em 2,3% caso seja desprezada o efeito da saliência do rotor.

Apêndice 6

Cálculo da energia não suprida pela perda de geração

A metodologia para o cálculo da probabilidade de perda de carga (LOLP – loss of load probability) aqui indicada é aquela proposta em [26] e que considera somente o risco devido a perda estática de geração, como segue:

O valor esperado E(t) da perda de carga para um dado intervalo de tempo é obtido pela seguinte expressão:

$$E(t) = \sum_{k=1}^{n} P_k t_k$$

Onde:

 O_k é a magnitude da k-ésima saída forçada.

 $P_{\scriptscriptstyle k}$ é a probabilidade de uma saída forçada com amplitude igual a $O_{\scriptscriptstyle k}$.

 t_k é o número de unidades de tempo no intervalo de estudo em que a saída O_k causará uma perda de carga.

Uma certa indisponibilidade O_k contribuirá para uma perda de carga no sistema cujo valor esperado será igual ao produto da probabilidade da existência desta indisponibilidade P_k pela unidade de tempo t_k em que a perda de carga ocorreria caso aquela indisponibilidade existisse.

A.6.1

Cálculo do valor esperado da perda de carga

Considerar uma usina com 5 geradores de 40 MW cada, operando na base, com os seguintes dados históricos para as saídas forçadas:

tempo médio entre falhas = MTTF = 4380 horas tempo médio para reparos = MTTR = 45 horas

O pico de carga previsto para o sistema é de 160 MW.

prob. de saída forçada =
$$\frac{\text{número de horas fora de serviço devido a saída forçada}}{\text{número de horas do período}} = \frac{45}{4380 + 45} = 0,010$$

taxa média de falhas por ano =
$$\frac{\text{número de horas do ano}}{\text{número de horas em serviço}} = \frac{8760}{4380} \approx 2.0$$

O modelo considerado para o gerador é em 2 estados, a saber: em serviço – fora de serviço.

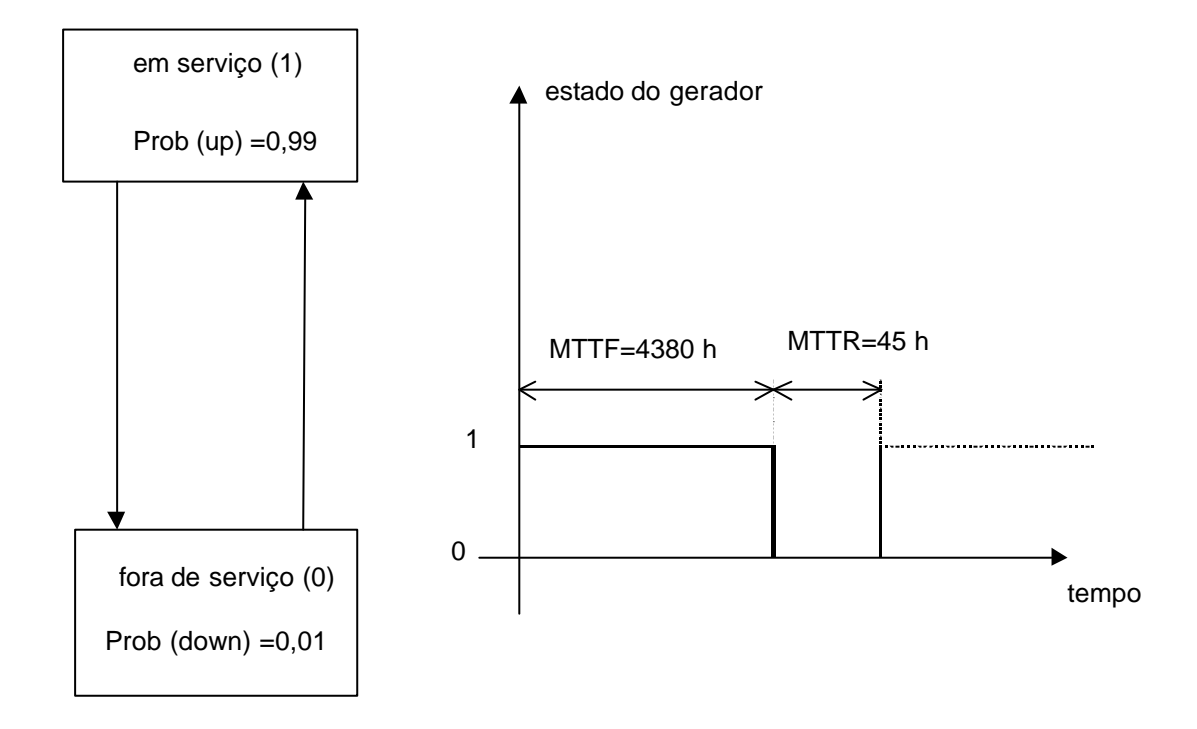


Figura A.6.1-Modelo do gerador

A partir destes dados é preparada a tabela de probabilidade para o caso de saída forçada nos geradores.

Tabela A.6.1- Probabilidades de saída forçada de geradores

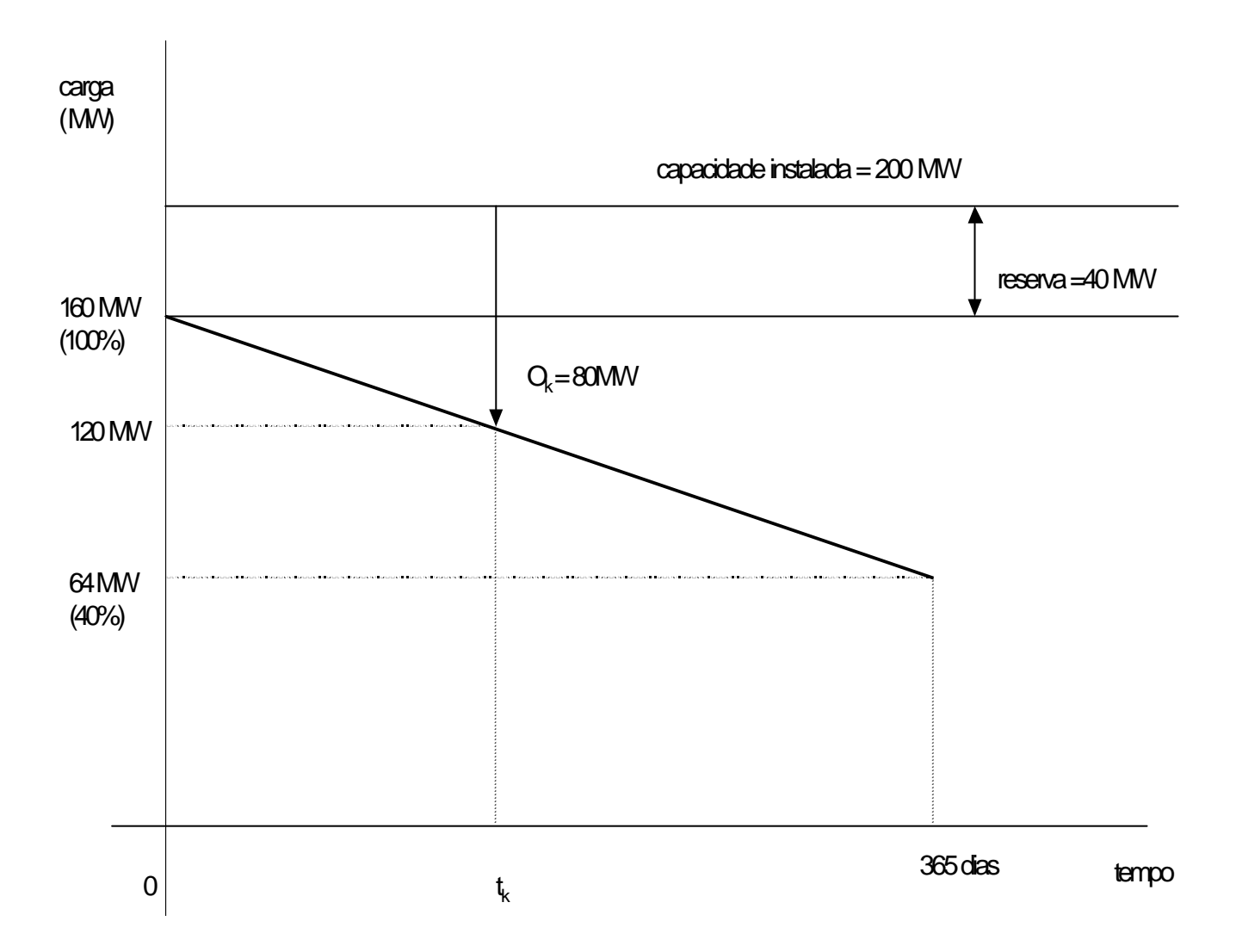
Capacidade	capacidade indisponível	probabilidade	probabilidade
disponível (MW)	(MW)	desta	acumulada
		configuração	
5x40	0	0,95099	1,00000
4x40	1x40	0,048030	0,04901
3x40	2x40	0,00097	0,00098
2x40	3x40	0,000009	0,00009

Os valores da tabela A.6.1 inferiores a 10^{-6} serão desprezados.

O cálculo das probabilidades de desligamento de geradores é feito a partir de uma distribuição binomial, onde a probabilidade de sucesso p é igual a 0,99 e a probabilidade de fracasso q é igual a 0,01. A probabilidade de haver 2x40 MW geradores fora de serviço é determinado da seguinte forma:

$$P(80MW) = C_5^2 p^3 q^2 = (\frac{5!}{4!1!})(0.99^3)(0.010^2) = 0.00097$$

Com estes dados, podemos determinar o valor esperado da perda de carga que ocorrerá quando do desligamento do 2º gerador. Para tal, será necessário o conhecimento prévio do perfil da curva de duração de carga da usina.



Neste caso:

Figura A.6.2-Valor esperado da perda de carga

$$t_k = \frac{40*100\%}{(160-64)} = 41,67\%$$
 de 1 ano

O valor esperado da perda de carga devido ao desligamento forçado de 2 máquinas será:

Tabela A.6.2- Determinação do valor esperado da perda de carga

capacidade probabilidade		tk (%)	valor esperado da perda
indisponível (MW)	acumulada		de carga (%)
0	1,00000	-	-
1x40	0,04901	-	-
2x40	0,00098	41,67	0,04083
3x40	0,00009	41,67	0,0003753

$$E(t) = 41,67\% * 0,00098 + 41,67\% * 0,00009 = 0,04083 + 0,000374 = 0,041204 \%$$

O valor esperado de perda de carga com pico de 160 MW será igual a:

365*0,041204% = 0,1505 dias por ano